



# 射頻機械濾波器

蘇聯 M.G. 格魯布曹夫著

叢 茂 森 譯

人民郵電出版社

苏联  
业余无线电

## 内 容 提 要

在这本小册子是介绍应用在无线电技术中的新型滤波器。它由一些金属片和棒等组成，具有接近矩形形状的频率特性曲线。

作者本来目的是为业余无线电爱好者写的，但对从事电信及广播工作的中初级技术人员也很适合。

## 射 频 机 械 滤 波 器

著 者：（苏联） M. Г. 格 霍 布 曹 夫

译 者：丛 茂 森

出 版 者：人 民 邮 电 出 版 社

北京东四6号13号

（北京市音像出版业营业登记证字第048号）

印 刷 者：“煤 炭 工 业 出 版 社”印 刷 厂

发 行 者：新 华 书 店

开本 787×1092 1/32

1958年12月第一版

印张 1 8/32 货号 20

1958年12月北京第一次印刷

印刷字数 32,000 字

统一书号：15045·总 946—无 247

印数 1—5,000 册

定价：(10) 0.19 元

## 目 录

1 前言.....	1.
2 机械滤波器工作的物理基础.....	3
3 带通机械滤波器的结构.....	9
4 棒型和薄板型机械滤波器的计算.....	15
5 滤波器的制作精确度.....	26
6 滤波器的制作与装置.....	28
7 机械滤波器的频率特性曲线及接线.....	31

## 1. 前 言

改进无线电接收机的工作质量的方法之一，是提高它的选择性。为了这一目的，愈来愈多地采用多节带通滤波器来代替由双耦合槽路组成的普通带通滤波器。这种滤波器能够获得很好的频率特性，它在阻带内具有很大的工作衰减而在通带内则很平直。

制作频率特性曲线近似矩形的带通滤波器是相当困难的，因为滤波器电气槽路的品质因数比较低（一般不超过几百），这就难以制作在通频带内具有很陡峭的前沿和很小的介入衰减的滤波器。

多节带通滤波器的应用受到限制的另一原因是它的尺寸问题。这是因为要获得好的频率特性曲线就必须有很多的节数，若缩小滤波器元件的尺寸，照例会使它的槽路的品质因数降低，从而使它的频率特性曲线变坏。

这些情况显然是最近无线电专家们所以注意机械谐振器的原因。机械谐振器的品质因数是很大的，一般为数以千计，而在射频范围内这种谐振器的尺寸较小。就本身的特性来说，机械滤波器可以同时代替普通槽路的电感和电容。

机械滤波器的工作原理，是基于将高频电振荡变换为机械振动，再通过由一系列机械谐振器组成的滤波器。经滤波之后，再把机械振动变换为电振荡，然后用普通方法加以放大和检波。谐振器是用金属棒，小球圆片和矩形薄板等制成的。这种谐振器的品质因数高，所以可以使带通滤波器具有陡峭的边沿和平顶。

中频机械滤波器可以保证无线电接收机具有很好的选择性。这种滤波器的矩形系数  $K_{0.001}$  可能达到的数值为

$$K_{0.001} = \frac{2\Delta f_{0.001}}{2\Delta f_{0.7}} = 1.5 \sim 2,$$

决定

式中  $2\Delta f_{0.7}$ —电平为 0.7 的滤波器通频带;  $2\Delta f_{0.001}$ —相当于使干扰电压衰减为  $1/1000$  的频带。这种滤波器的频率范围是从几十千赫到一兆赫。根据滤波器的中心频率和所选择的元件联接电路, 机械滤波器的通频带宽度可以为几赫到几十千赫。

在机械滤波器制成和调谐之后, 它的中心频率和频带宽度便固定不变, 要改变这些参数就得以另一滤波器来代替这一滤波器。

前面说过, 在射频范围内, 机械滤波器的尺寸很小, 这正是它与由普通电感线圈及电容组成的滤波器相比的优点, 并且还能成功地与印刷电路、小型零件配用。

为了比较起见, 图 1 中画出了某种电气滤波器和机械滤波器的

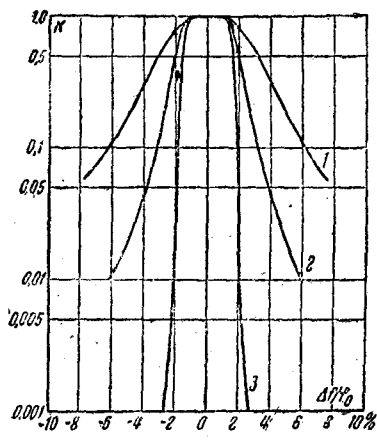


图 1 滤波器的频率特性曲线

1—双谐振槽带通滤波器的频率特性曲线; 2—两级双谐振槽带通滤波器的频率特性曲线; 3—七个元件组成的滤波器的频率特性曲线。

究。在这本小册子里, 引用了这种滤波器的某些照片和频率特性曲线。

频率特性曲线。

窄带机械滤波器还可用来稳定振荡器的频率, 分离单边带接收中自动频率微调所需的载波频率, 以及用在频谱分析器中等。

在这本小册子里, 我们将简要地叙述物体机械振动理论的物理基础, 以及它与 LC 回路的电气振荡相类似的性质, 并阐明基本类型机电带通滤波器的工作。

同时, 还将给无线电爱好者们介绍关于自己制造和装配机械滤波器所必须的计算知识。

好多机械滤波器是苏联科学院无线电技术与电子学研究所研

## 2. 机械滤波器工作的物理基础

由金属圆棒组成的带通滤波器，在射频范围内已经获得了应用。为了了解这种滤波器的工作，我们先来研究一下图 2, a 所示的单根金属棒的振动。在射频范围内，是利用这种棒的纵向振动和扭转振动。在纵向振动的情况下，金属棒沿自己的轴线一会儿缩短，一会儿伸长。当外加压力的频率和棒振动的自然频率一致时，便开始谐振。这时，棒长度的周期变化为最大。两端悬空（或固定住）的金属棒的自然频率，决定于棒的长度  $l$  和机械振动沿其轴线的传播速度  $v_{np}$ 。可用下列公式决定：

$$f_n = n \cdot \frac{v_{np}}{2l} = n \cdot \sqrt{\frac{E}{\rho}} \quad (1)$$

式中  $n$ —进入谐振的谐波序数。

机械振动的传播速度可以由棒的材料、容积、密度  $\rho$  和代表的弹性系数  $E$  来算出。其中的  $E$  是指作用于截面积为 1 厘米<sup>2</sup> 的棒上的力能使它长度拉长为原来两倍时的情况。

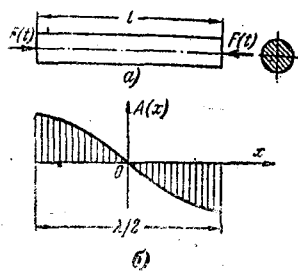


图 2 圆形截面棒型金属谐振器  
a—全貌；b—振动幅度的变化与由中点算起沿棒轴的距离的关系(棒的长度等于  $\lambda/2$ )。

最低振动频率等于  $\frac{v_{np}}{2l}$ 。在这种情况下，棒的长度等于半个波长  $(l = \frac{v_{np}}{2f_1} = \frac{\lambda}{2})$ ，并且如果棒的两端没有固定，那末棒的中点为静点或波节，如图 2b。

与纵向振动不同，扭转振动在棒中产生于更低的频率。它也是决定于棒的长度  $l$  和机械振动的传播速度

$v_{kp}$ 。但是扭轉振动沿棒传播較慢，并且諧振頻率為：

$$f_n = \frac{n \cdot v_{kp}}{2l} = n \sqrt{\frac{E}{\rho}} \cdot \frac{1}{\sqrt{2+2\sigma}} \cdot \frac{1}{2l} \quad (2)$$

式中  $n$ —諧波序数，而  $\sigma$ —泊松比（当棒延伸时，横向压缩与縱向伸長的比）。

金屬的泊松比  $\sigma \approx 1/3$ 。有趣的是在自然頻率的公式(2)中沒有圓棒的直徑這項。如果棒的兩端是自由的，且其長度等於半個機械波長 ( $l = \frac{1}{2} \cdot \frac{v_{kp}}{f} = \frac{1}{2} \lambda$ )，那末棒的中心將為波節，而其兩端為波腹。

实际上，棒的扭轉總會使其長度發生變化，因而扭轉振动必然伴有縱向振动，并且如果扭轉振动的頻率與縱向振动的自然頻率一致，那末在棒上可以觀測到諧振的縱向振动。

在機械濾波器中所應用的另一類型的振动是利用金屬圓片的弯

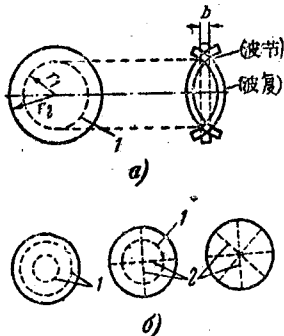


图3 金属圆片的弯曲振动

a—圆片具有一个节环的(变曲)  
振动的形状(1—节环); b—圆片的各种  
振动形状(1—节环, 2—节径)。

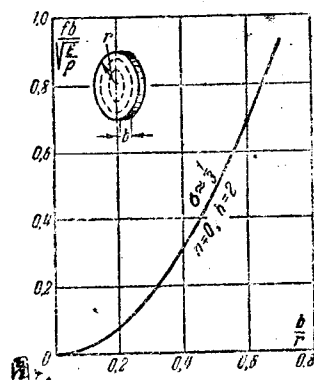


图4 金属圆盘的諧振頻率与其尺寸  
的关系

曲振动。图3a表示具有一个节环的自由圆薄片的諧振振动形状。虛線表示处于靜止状态的薄片沿直径的截面；實線表示薄片振动时

的两个边界情况。位于半径为  $r_1$  的节环上的点始终不动。由图 36 可以看出，某些类型的振动，除了有节环以外，还有节径。在这种情况下，薄板的中心是不振动的。不论怎样，振动只有在离开薄板中心的地方才有节环。

圆薄板的各种形状的弯曲振动，是由和数值  $(n+2h)^2$  近似成比例的各种频率激起来的，其中  $n$  为节径数； $h$  为节环数。

实际应用上，是利用圆薄板的双节环 ( $n=0, h=2$ ) 振动。在图 4 所绘的薄板的振动频率  $f$  和薄板的厚度  $b$  与其半径  $r$  的比的关系，即是指的这种情形。其余的振动形状是由于出现比较接近于基频频率的寄生振荡而激起来的。当用圆薄板设计滤波器时，应当力求采用双节环的振动形状，以便把寄生振荡的频率尽可能地离基频远一些。这就需要适当地选择薄板的厚度与它的半径的比。

在射频范围内，高与宽的比值  $b/L$  较大的方形金属薄板的弛张振动也获得了应用（图 5a）。图 5b 表示该薄板的谐振频率与比值  $mb/L$  的关系，其中  $m$  为被激起的谐波序数； $\sqrt{\frac{E}{\rho}}$  为用薄板同一材料制成的棒中纵向振动的传播速度。在所选择的谐波序数

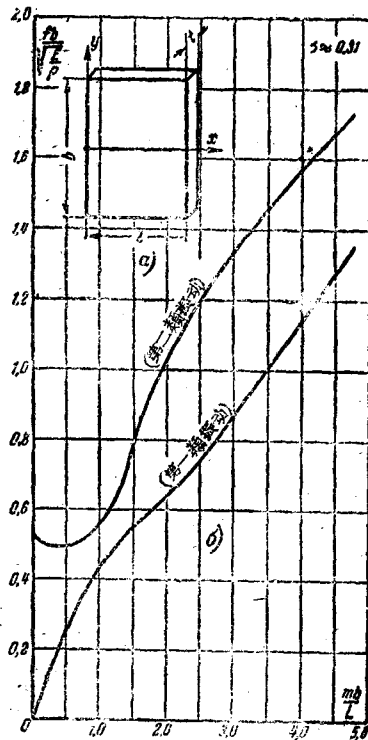


图 5 金属薄板的谐振振动的频率与其尺寸的关系

a—薄板的一般形状；b—薄板的第一类振动和第二类振动的曲线。

中，薄板的諧振振动可能在两个频率上出現。按照图 56 的下面一曲綫或上一曲綫求得其频率的諧振振动，分別叫做第一类振动和第二类振动。第一类振动用于低頻，并且薄板的尺寸也不大。第二类振动用于高頻，在这种情况下，机械濾波器有較坚固的結構。

图 6 表示具有泊松比  $\sigma=0.31$  和不同高度与宽度比  $b/L$  的薄板諧振振动的形状。虛綫表示处于靜止状态的薄板的形状；实綫表示薄板在振动时两个极边的情况。如果减少薄板的高与宽的比值，那末薄板极边的振动形状将变为中間为凹凸的曲綫形式，当这个比值变得很小时（薄板变为細长条），极边振动的形状近似一条直綫。

上面所叙述的各类諧振器具有和机械振动的波长不太悬殊的尺寸。

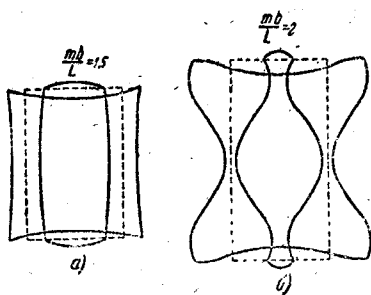


图 6 金属薄板在第二类振动时的  
极端形状 ( $m=1$ )

$$a - \frac{mb}{L} = 1.5 \text{ 的情形}$$

$$b - \frac{mb}{L} = 2 \text{ 的情形。}$$

$q$ ，而横断层沿棒縱軸的位移速度类似电流。电容  $C = \frac{q}{U}$  类似  $\theta = \frac{\Delta x}{F}$  材料弹性。

可見，机械諧振器可以用具有本身特性阻抗的等效电气長綫繞組来代替。如果机械諧振器是在基波上激振，那末等效綫的长度等于半个电气波长(图 7a)。在諧振频率  $f_n$  附近，長綫的分布元件可以用集

尺寸。因此，可以把諧振器看作是具有分布参数的机械长綫。这可以从棒型諧振器的例子中(图 2)明显地看出来。在机械长綫和电气长綫中所产生的过程，可以用許多类似的微分方程来描述。比較这些方程可以看出，作用在棒的横断面上的力  $F$  相当于电气长綫导綫間的电压  $U$ ；机械阻尼相当于电阻；質量相当于电感。橫断层沿棒縱軸的縱向位移  $\Delta x$  类似于通过电气长綫导綫的电荷

中元件来代替。在半个波长上分析长线段的等效电路表明：在频率 $f_1$ 附近，这线段可能是串联电路，电路的参数决定于长线的特性阻抗 $Z_p$ 。如果棒的一端是未被固定的，那末这和等效电路上的相当接线柱短路的情形相类似，如图 76 所示。这是因为棒的自由端能够以很大的幅度和很快的速度振动的缘故。如已指出，横断层沿棒纵轴的位移速度是和电路中的电流相当的。因此，棒端大的位移速度相当于在线路短路端产生的大电

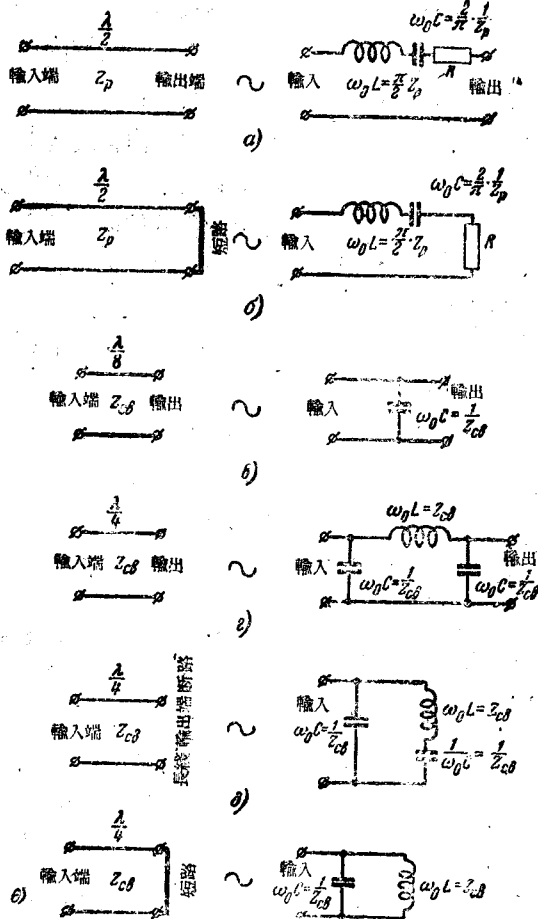


图 7 以具有集中参数的四端网络表示的长线的等效电路  
 a—与具有两自由端的谐振器( $l=\lambda/2$ )等效;  
 b—与具有一自由端的端谐振器( $l=\lambda/2$ )等效;  
 c—与变速杆( $l=\lambda/8$ )等效;  $\nu-\lambda/4$  长线的代换电路;  
 d—与  $\lambda/4$  固紧装置的变速杆等效; e—与  $\lambda/4$  端交通杆等效。

流。在机械滤波器中，除了谐振器以外，还含有把机械振动从这一谐振器传送到另一谐振的交连杆，它被做成长度为 $\lambda/8$ 和 $\lambda/4$ 的细棒。在滤波器的中间频率 $\omega_0$ 附近交连杆的等效电路如图7a和e。在滤波器中，还有用来把滤波器紧固在底架上的等于四分之一波长的交连杆。它们的等效电路相当于接“地”的串联电路(图7d)。

为了用电的方法在棒上激起机械振动，可以利用压电效应或磁致伸缩效应。在中频机械滤波器中，还常常使用磁致伸缩变换器。它的动作原理是以铁磁体在磁化时其尺寸和形状的变化为基础。这种变换器通常是利用镍或铁镍合金以及其它金属或磁致伸缩铁素体等来制成。

当磁场激励磁致伸缩材料制成的棒时，棒的长度发生变化。当棒的长度在磁场的作用下伸长时，是所谓正磁致伸缩效应；当棒的长度缩短时，是所谓负磁致伸缩效应。棒的长度的增量符号不决定于磁场的方向，而是决定于铁素体的成分。因此，必须在棒上建立附加的固定磁场，以便使棒不以双频振动。固定偏磁场的影响示于图8。偏磁的数值 $H_0$ 应当选得大于交变磁场的幅度。当场强相当

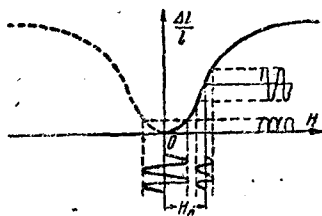


图8 附加固定磁场对磁致伸缩变换器中机械振动形状的影响

由图9可以看出，镍棒长度的相对变化，是用 $10^{-5}$ 的数量级来量度的。镍棒长度的变化，大约在磁场强度为500奥斯特时减弱。镍的磁致伸缩特性曲线的起初弯曲部分约在0.1—0.3奥斯特。某些类型的坡莫合金也具有磁致伸缩的性质。

大时，偏磁将进入非线性状态，因而使机械振动的幅度降低。铁磁体棒除了具有磁致伸缩的性质以外，还具有逆磁致伸缩的性质，亦即在改变棒长度的外力作用下，棒中将有纵向磁场产生。

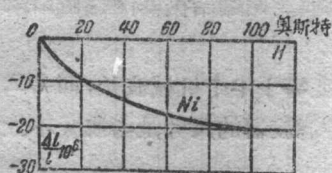


图 9 镍的磁致伸缩特性曲线

如果把偏磁铁放置在由强磁致伸缩性材料（例如铁素体）制成的棒旁，并在棒两端绕置激振线圈和取振线圈，那末我们就制成一个磁致伸缩滤波器了（图 10）。在激振线圈的交变磁场作用下，金属棒开始周期地改变其长度。当外加磁场的频率和棒的自然频率一致时，机械振动的幅度便急剧地增大。在这里是把铁素体棒为品质因数约为 1000 的机械谐振器。依靠磁致伸缩效应，谐振的棒在次级线圈中会产生交变磁场，因而，在线圈两端产生电动势，其频率和棒的谐振频率是一致的。由此可见，在这种滤波器中存在如下过程：把电气振荡变换为机械振动，经过机械滤波后，再把机械振动反变换为电气振荡。通过滤波器的振荡，由于磁致伸缩效应，其强度很强，使由于滤波器两个线圈间的电感耦合作用而通过的振荡可略而不计。

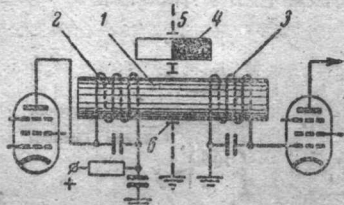


图 10 磁致伸缩滤波器

1—铁素体棒；2—激振线圈；3—取振线圈；4—偏移永久磁铁；5—屏蔽装置；6—棒的紧固装置。

### 3. 带通机械滤波器的结构

在图 11a 所示的机械滤波器中，电机变换过程和机械滤波过程是分开进行的。

滤波器两端的铁素体棒执行磁致伸缩变换器和选择性元件的职能。中间的五个谐振器（大圆柱体）和六个交连元件（小圆柱体）是钢制的。高品质因数的金属谐振器基本上起滤波作用。滤波器两

端的谐振器插入激振线圈和取振线圈里面。两端谐振器的偏磁由永久磁铁来完成。

在图 11a 的滤波器中，谐振器的长度等于半个机械波长，即  $\lambda/2$ ，而交连元件的长度等于  $\lambda/8$ 。因为这种滤波器的尺寸是与波长不太悬殊的，所以可以把它看作机械长线。

机械滤波器的各元件都可以由和它们等效的具有分布参数的电气长线段来代替，如图 11b 所示。在滤波器的中间频率附近，长线的分布元件可以由集中元件来代替（见图 7）。由图 11b 可以看出，谐振器相当于串联电路  $L_p C_p$ ，交连杆相当于接“地”电容  $C_{cb}$ 。为了

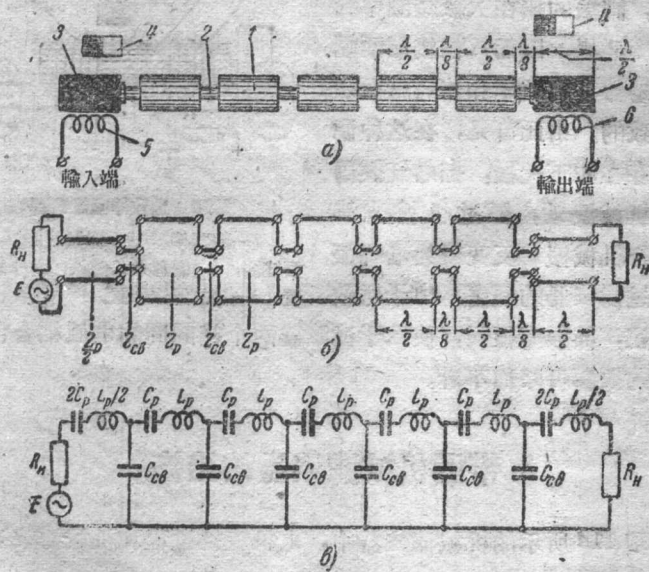


图 11 七个圆棒型机械滤波器

a—滤波器的机械示意图(1—钢制谐振器；2—钢交连杆；3—铁素体磁致伸缩变换器；4—偏移永久磁铁；5—激振线圈；6—取振线圈)；b—由等效于机械滤波器各元件的电气长线段组成的线路；c—具有集中参数的等效电路图。

使两端一致起見，濾波器應當有每節電感的一半和雙倍的電容，這在鐵素體諧振器的參數選擇適當的情況下是可以實現的。濾波器兩端的所需負荷  $R_n$  是由兩端諧振器的阻尼而獲得的。

交連杆比諧振器細得越多，圖 11a 所示的電容  $C_{eb}$  也就越大；各  $L_p C_p$  圓路之間的耦合減少，則濾波器的通過頻帶也變窄。

在濾波器中，還可能含有長度等於四分之一機械波長即等於  $\lambda/4$  的交連杆和諧振器。四分之一波長的交連杆能够改善機械濾波器的頻率特性曲線。

對於其動作以扭轉為基礎的濾波器來說，它的等效電路也可以用和以棒的縱向振動為基礎的濾波器相同的方法來構成。它們的區別僅在於：磁致伸縮變換器的結構以及扭轉的激振和取振等的不同。

圖 12 簡略地表出這種變換器的一種裝置。兩根長度等於四分之一波長奇數倍的細金屬杆，各連接在端諧振器的極邊上。在兩杆上激起反相的縱向振動。當一杆的長度縮短時，另一杆則伸長。因此，接有細杆的金屬棒就會發生扭轉。為了增大振動幅度，細金屬杆應當用具有高磁致伸縮性質的合金（含有鎳、鐵、鉻和鈦的合金）製成。由圖 12 可以看出，端諧振器的長度為  $\lambda/4$ ，並且兩端的和中間的諧振器的直徑選得一樣。

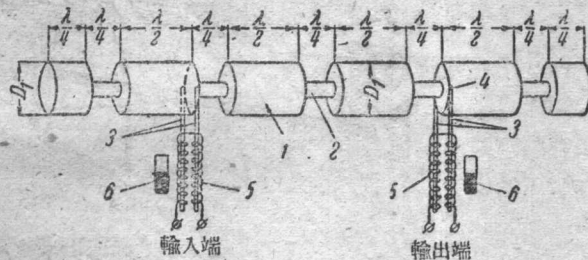


圖 12 以扭轉為基礎的機械濾波器的示意圖

1—諧振器；2—交連杆；3—磁致伸縮變換器；4—變換器固定於諧振器上的部位；5—激振線圈；6—偏移磁鐵。

還有另一種結構的機械濾波器，例如，上述濾波器的棒諧振器可以利用退火鋼珠（取自滾珠軸承）來代替。鋼珠鑽一孔，並焊接

在細鎳杆或細薄壁鎳管上，它們在鋼珠間完成磁致伸縮變換器和交連杆的作用。鋼珠的直徑應當近似地等於四分之一波長；頻帶寬度決定於交連杆的橫斷面積。

圖 18 表示由六個金屬圓盤組成的機械濾波器的示意圖及其等效電路。由細鎳杆或專用磁致伸縮合金製成的磁致伸縮變換器的長度應當等於四分之一波長的奇倍數，這種變換器相當於兩個調諧在圓盤振頻率上的並聯槽路  $L_n C_n$ （圖 7, e）。這些槽路的等效品質因數是不大的，因此，在濾波器的中間頻率附近，槽路  $L_n C_n$  可以用它在諧振時的電阻來代替。

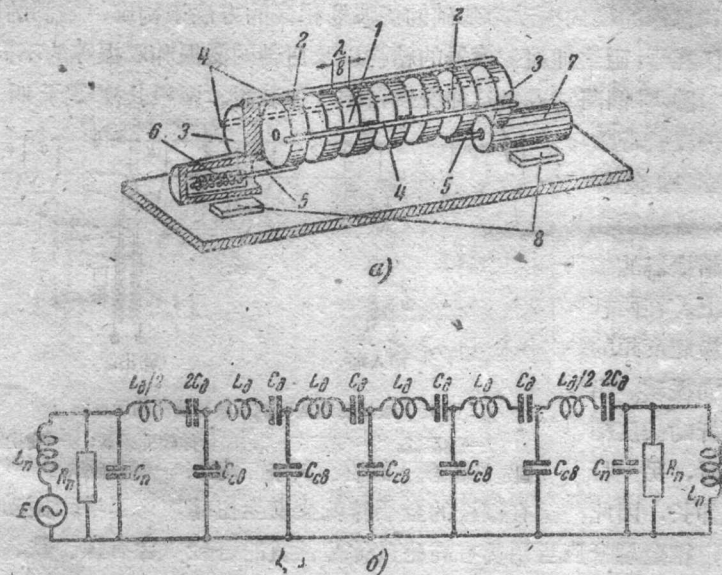


圖 18 六個圓盤型機械濾波器

a—濾波器的機械圖形（1—金屬圓薄板；2—端金屬薄板；3—支撐圓盤；4—圓盤間的金屬交連杆；5—細鎳杆制磁致伸縮變換器；6—激振線圈；7—取振線圈的黃銅屏蔽裝置；8—偏移磁鐵）；b—具有集中參數的等效電路。

圆盘是和高品質因数的串联諧振电路  $L_n C_n$  等效的。它们是被三根长度等于  $\lambda/8$  机械波长的交連杆连接起来的。圆盘間的細杆相当于接“地”电容。当改变交連杆的粗度时，可能使滤波器的通过頻带发生变化。在两端的圆盘中心需要鑽孔，它的直径应当小到这种程度，以至于使两端圆盘的諧振频率不发生变化。中心孔会使机械圆盘的总阻减半，这和端圆盘的等效电感减半而等效电容加倍的情形相类似。此外，端圆盘的中心孔能减低同被利用的振动频率邻近的寄生振动的幅度。在两端的調諧圓盤外面，应当各有一个固定用

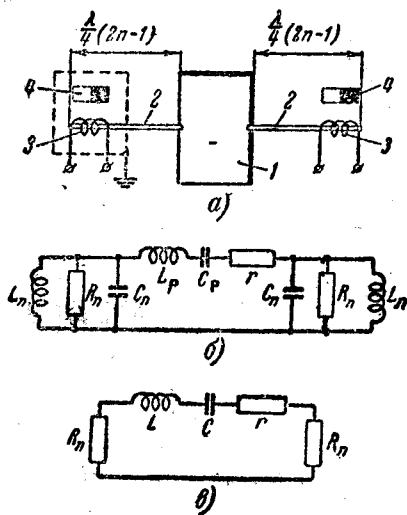


图 14 单一薄板型窄带滤波器

a—机械示意图 (1—由高品质因数材料制成的薄板; 2—鍍杆; 3—双振线圈和激振线圈; 4—偏移磁铁); b 和 c—等效电路。

分之一波长的奇数倍。在等效电路中的槽路  $L_n C_n$  与細杆相当；槽路  $L_p C_p$  与薄板相当。两端細杆的通过頻带比薄板的通过頻带寬得多，因此在滤波器的通过頻带中，并联槽路可以用它在諧振时的电

的非調諧圓盤，以便将整个諧振系統装在內有激振線圈和取振線圈的黃銅管上。調諧与非調諧圓盤之間的連接是借助于长度等于  $\lambda/4$  的細金屬杆来实现的。永久磁铁固定在线圈的黃銅屏蔽裝置的旁边。两个线圈应調整至諧振，并直接接入电子管的屏极电路和栅极电路。

图 14 所示的电路，是为了确定薄板的諧振频率以及作为窄带机械滤波器用的。激振的与取振的細鎳杆被連接在薄板的振动节上（見图 6）。杆的长度等于四

阻  $R_n$  来代替。滤波器的通过频带可以按照下列公式求得

$$Q_s = \frac{f_p}{2\Delta f 0.7} = \frac{2\pi f_p L_p}{r_p + 2R_n} \quad (3)$$

当两端细杆的断面积减少时，谐振时的等效电阻  $R_n$  也减小。因此，改变断面积可以改变滤波器的通过频带。因为细杆连接在振动节，所以它对薄板的分路作用不大，因而滤波器的频带是很窄的。

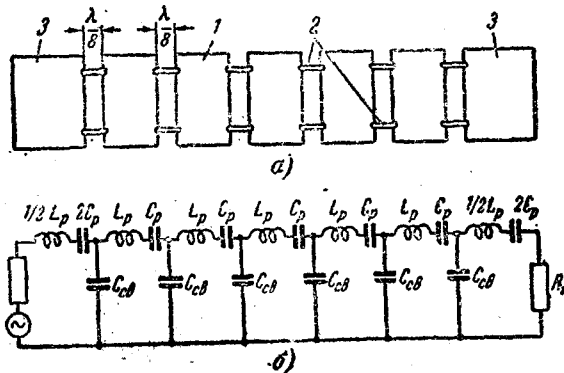


图 15. 七块矩形薄板型机械滤波器。a—滤波器的机械图形 (1—中间谐振器; 2—交連杆; 3—磁致伸縮变换器薄板); b—滤波器的等效电路。

是磁致伸縮变换器。中間五块薄板是由具有高品质因数和低温度系数的材料制成的（具有很大的精确度）。交連杆是作为各谐振薄板間的非谐振連接用。

图 15b 是其等效电路。在这一类型的滤波器中，也象前述各类滤波器一样，谐振元件可以用串联电路表示，而交連杆可以用对“地”电容表示。滤波器两端的串联电路应当具有  $\frac{1}{2}$  电感量和双倍电容，这是为了使滤波器两端一致所必须的。它们可以由适当地选择滤波器两端的薄板的尺寸和材料来达到。

图 15a 表

示七块薄板型滤波器的示意图。由机械示意图可以看出，平薄板组是被许多对细金属杆连接起来的。两端的镍制薄板是滤波器的选择性元件，同时也